

## ЛИТЕРАТУРА

1. Tremblay R., D'Astons Y., Roy G., Blanshard M. Laser plasmas — optically pumped by focusing with axicon a CO<sub>2</sub>-TEA laser beam in a high-pressure gas // Opt. Commun.— 1979.— V. 28, N 2.— P. 193.
2. Dyson J. Optics in Metrology.— Oxford; London; New York; Paris: Pergamon Press, 1960.
3. Mikhaltsova I. A., Nalivaiko V. I., Soldatenkov I. S. Kinoform axicons // Optik.— 1984.— Bd 67, N 3.— S. 267.
4. Сороко Л. М. Мезооптика, голограмма и оптический процессор // Методы и устройства оптической голограммии: Сб. науч. тр. XV Всесоюз. конф. по голограммам.— Л.: ФТИ, 1983.
5. Нат. 4426696 США. Optical playback apparatus focusing system for producing a prescribed energy distribution along an axial focal zone/B. B. Brenden, J. T. Russell // Appl. Opt.— 1984.— V. 23, N 19.— P. 3250.
6. Roy G., Tremblay R. Influence of the divergence of a laser beam on the axial intensity distribution of an axicon // Opt. Commun.— 1980.— V. 34, N 1.— P. 1.
7. Коробкин В. В., Полонский Л. Я., Попонин В. П., Пятницкий Л. И. Фокусировка гауссовых и гипергауссовых лазерных пучков аксионами для получения сплошных лазерных искр // Квантовая электроника.— 1986.— Т. 13, № 2.
8. Fujiwara Shiro. Optical properties of conic surfaces. 1. Reflecting Coun. // JOSA.— 1962.— V. 52, N 3.— P. 287.
9. Нальчикова И. Г. Синтез фазовой структуры киноФормных аксионов.— Новосибирск, 1986.— (Препринт/АН СССР, Сиб. отд-ние, ИАиЭ; 328).
10. Короневич В. П., Ленкова Г. А., Михальцова И. А. и др. Киноформные оптические элементы: методы расчета, технология изготовления, практическое применение // Автометрия.— 1985.— № 1.

Поступила в редакцию 23 апреля 1987 г.

УДК 681.327.68 : 778.38

В. К. ЕРОХОВЕЦ  
(Минск)

## ОЦЕНКА ДОПУСКОВ ЛИНЕЙНОГО ПОЗИЦИОНИРОВАНИЯ КОМПОНЕНТОВ В ДОКУМЕНТАЛЬНЫХ ГЗУ

При воспроизведении информационного изображения ряд выходных параметров оказывает существенное влияние на интегральную оценку его качества [1]. Число таких параметров относительно невелико. Это размер (формат) и точность его воспроизведения, точность воспроизведения контуров (нелинейные искажения), объемность (объемные искажения), яркость, контраст, резкость (четкость), цветность, воспроизведение полутона и чистота фона.

Детальное изучение отмеченных выше наиболее важных параметров выделяет в вопросах исследования голограммических запоминающих устройств (ГЗУ) документального типа три основных уровня: информационный, энергетический и геометрический. Информационному анализу посвящены работы [2, 3], энергетическому — [4], частные же аспекты геометрического проектирования ГЗУ освещены в [5—7]. Особый раздел при геометрическом проектировании ГЗУ составляет юстировка отдельных элементов схем записи и считывания. Этот вопрос применительно к построению цифровых ГЗУ изучался в ряде предшествующих работ [8—11]. Так, в [8] определены требования к точности установки тран-

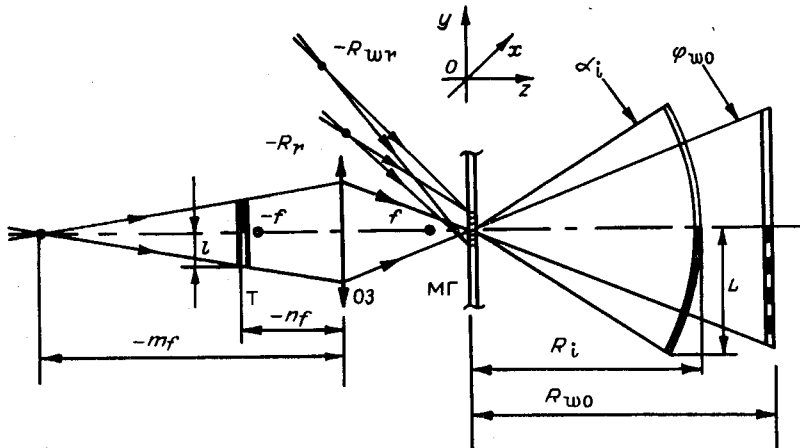


Рис. 1. Иллюстрация увеличения воспроизведимого изображения

спаранта данных в передней фокальной плоскости объектива Фурье-преобразования при записи микроголограмм. Получены выражения для продольного и поперечного смещений и увеличения изображений [9]. Определены требования к точности установки транспаранта данных и фотоматрицы, а также дан анализ влияния несогласованности радиусов кривизны опорного и считающего пучков на качество изображения [10]. Наконец, в [11] сформулированы требования к точности установки оптических элементов, к aberrациям объективов записи и считывания, а также к радиусам кривизны волнового фронта объективного, опорного и восстанавливавшего пучков с учетом их совместного влияния на aberrации изображения цифрового транспаранта в плоскости фотоматрицы.

В настоящей статье дается оценка допусков линейного позиционирования (вдоль оптических осей) компонентов документальных ГЗУ по критериям точности формата и резкости воспроизведимых изображений, причем такая оценка производится для однолинзовой схемы записи — воспроизведения (рис. 1). Выбор такой схемы обеспечивает возможность создания ГЗУ без использования в их составе вспомогательной оптики для изменения масштаба воспроизведимых документов.

**Оценка по критерию точности формата.** В общем случае поперечное увеличение  $M_n = L/l$  определяется произведением трех составляющих (см. рис. 1): линейного  $M_\lambda$ , дифракционного (продольного)  $M_d$  и углового  $M_y$  увеличений [7]:

$$M_n = M_\lambda M_d M_y, \quad (1)$$

где

$$\left. \begin{aligned} M_\lambda &= |(n-1)^{-1}|; \\ M_d &= \frac{R_I}{R_{wo}} = \frac{R_{wo}}{R_r} + \mu \left( 1 - \frac{R_{wo}}{R_{wr}} \right)^{-1}; \\ M_y &= \frac{\operatorname{tg} \alpha_I}{\operatorname{tg} \varphi_{wo}} = \frac{\operatorname{tg} \arcsin (\mu \sin \varphi_{wo})}{\operatorname{tg} \varphi_{wo}}; \\ R_{wo} &= M_\lambda k_r f; \quad k_r = (m-n)(m+1)^{-1}, \end{aligned} \right\} \quad (2)$$

а  $\mu = \lambda_r / \lambda_w$  — отношение длин волн света на этапах считывания ( $\lambda_r$ ) и записи ( $\lambda_w$ ) микроголограммы. Здесь линейное увеличение  $M_\lambda$  определяется относительным расстоянием транспаранта Т до объектива записи (ОЗ) в сравнении с его фокусным расстоянием  $f$ . Благодаря такой схеме записи вне зависимости от кривизны  $m_f$  освещавшего пучка света образуется действительное ( $n > 1$ ) или мнимое ( $n < 1$ ) изображение транспаранта на расстоянии  $R_{wo}$  от плоскости записи микроголограммы (МГ). Таким образом,  $R_{wo}$  — это геометрический параметр объективного пучка с угловым размером  $2\varphi_{wo}$ . Дифракционное (или продольное) уве-

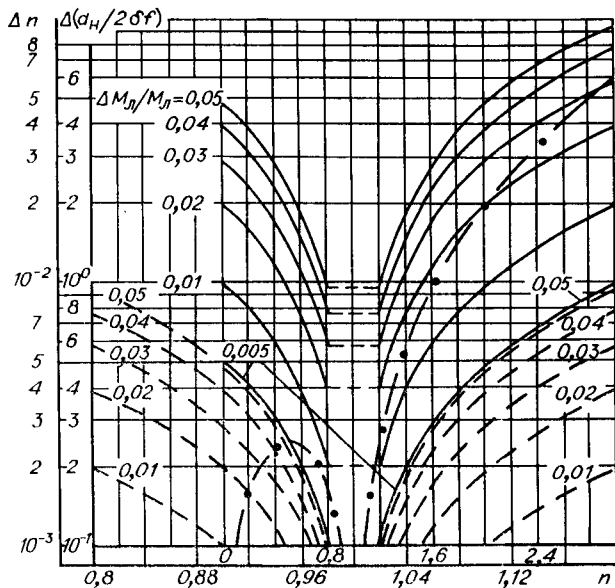


Рис. 2. Семейство графиков зависимости допуска линейного позиционирования транспаранта  $\Delta n$  от относительного расстояния  $n$  по критерию точности  $\Delta M_{\text{п}}/M_{\text{п}}$  воспроизведимого формата (сплошные кривые — на интервалах  $n \{0,2; 0,8\}$  и  $n \{1,2; 3,0\}$ , штриховые — на интервале  $n \{0,8; 1,2\}$ ) и кривые зависимости  $\Delta d_{\text{п}}/2\delta f$  от относительного расстояния  $n$  (штрихпунктирные кривые) по критерию резкости

личение  $M_{\text{д}}$  определяется отношением продольных размеров воспроизведенного информационного  $R_{\text{l}}$  и объектного  $R_{\text{wo}}$  пучков света.  $M_{\text{д}}$  задается в первую очередь кривизной опорного пучка  $R_{\text{wo}}$  при записи и считывающего пучка  $R_{\text{r}}$  при воспроизведении. Наконец, при изменении длины света на этапе считывания угловой размер воспроизведенного изображения  $2\alpha_{\text{l}}$  также претерпевает изменения в соответствии с выражением  $\sin \alpha_{\text{l}} = \mu \sin \varphi_{\text{wo}}$ .

Из системы уравнений (2) видно, что отклонение произвольного параметра в любой из составляющих приводит к появлению погрешности  $\Delta M_{\text{п}}$  в выражении (1):

$$M_{\text{п}} + \Delta M_{\text{п}} = (M_{\text{п}} + \Delta M_{\text{п}})(M_{\text{д}} + \Delta M_{\text{д}})M_{\text{y}}. \quad (3)$$

Исключение составляет  $M_{\text{y}}$  в силу высокой частотной стабильности используемых в ГЗУ лазерных источников. С учетом (1) можно переписать (3) как

$$\frac{\Delta M_{\text{п}}}{M_{\text{п}}} = \frac{\Delta M_{\text{п}}}{M_{\text{п}}} + \frac{\Delta M_{\text{д}}}{M_{\text{д}}} + \frac{\Delta M_{\text{п}}}{M_{\text{п}}} \frac{\Delta M_{\text{д}}}{M_{\text{д}}}. \quad (4)$$

Дадим дифференцированную оценку отклонений в выражении (4). Для линейного увеличения

$$M_{\text{п}} + \Delta M_{\text{п}} = |(n - 1 + \Delta n)^{-1}|,$$

откуда

$$\Delta n = \left| \frac{(1 - n) \Delta M_{\text{п}} / M_{\text{п}}}{1 + \Delta M_{\text{п}} / M_{\text{п}}} \right|. \quad (5)$$

Графики зависимости (5) для практических значений  $n$  и  $\Delta M_{\text{п}}/M_{\text{п}}$  представлены на рис. 2. Видно, что с увеличением  $M_{\text{п}}$ , т. е. при  $n \rightarrow 1, 0$ , требования к точности установки транспаранта линейно возрастают.

При использовании дифракционного изменения масштаба на практике из соображений конструктивной простоты системы записи — воспроизведения микроголограммы один из пучков света (опорный или считающий) является коллимированным. Поэтому без учета поведения гауссовых пучков [12] при  $R_{\text{r}} = \infty$

$$M_{\text{д}} = [\mu(1 - R_{\text{wo}}/R_{\text{wr}})]^{-1};$$

$$M_{\text{д}} + \Delta M_{\text{д}} = \frac{R_{\text{wr}} + \Delta R_{\text{wr}}}{\mu(R_{\text{wr}} + \Delta R_{\text{wr}} - R_{\text{wo}})}, \quad (6)$$

$$\text{откуда} \quad \frac{\Delta R_{\text{wr}}}{R_{\text{wr}}} = \left| \frac{(R_{\text{wo}}/R_{\text{wr}} - 1) \Delta M_{\text{д}}/M_{\text{д}}}{R_{\text{wo}}/R_{\text{wr}} + \Delta M_{\text{д}}/M_{\text{д}}} \right|. \quad (7)$$

Аналогично при  $R_{\text{wr}} = \infty$

$$M_{\text{д}} = [\mu(1 + R_{\text{wo}}/\mu R_r)]^{-1}; \quad (8)$$

$$\frac{\Delta R_r}{R_r} = \left| \frac{(R_{\text{wo}}/\mu R_r + 1) \Delta M_{\text{д}}/M_{\text{д}}}{R_{\text{wo}}/\mu R_r - \Delta M_{\text{д}}/M_{\text{д}}} \right|. \quad (9)$$

Большое число варьируемых переменных в выражениях (6) и (8) предполагает наличие множества схемных конфигураций. Обязательным условием при анализе изменения параметра  $M_{\text{д}}$  для всех конфигураций является применение правила знаков геометрической оптики, где знак «—» соответствует геометрическим отрезкам в пространстве  $z \in \{0, -\infty\}$ , а знак «+» — в пространстве  $z \in \{0, \infty\}$ . Из выражений (6) и (8) видно, что при  $R_{\text{wo}}R_{\text{wr}} < 0$  или  $R_{\text{wo}}R_r > 0$  всегда  $M_{\text{д}} < 1$ . При  $R_{\text{wo}}R_{\text{wr}} > 0$  или  $R_{\text{wo}}R_r < 0$  имеет место увеличение. При этом для построения увеличенных действительных изображений необходимо соблюдать условия  $|R_{\text{wo}}/R_{\text{wr}}| = |R_{\text{wo}}/\mu R_r| < 1$ , нарушение которых приводит к исчезновению действительного изображения и формированию мнимого, в том числе уменьшенного при  $|R_{\text{wo}}/R_{\text{wr}}| = |R_{\text{wo}}/\mu R_r| > 2$ . Мнимое изображение в практических случаях легко трансформируется в действительное за счет считывания микроголограммы сопряженным пучком света.

На рис. 3 приведены кривые для оценки допусков линейного позиционирования опорного и считающего пучков при заданной точности  $\Delta M_{\text{д}}/M_{\text{д}}$  от 0,1 до 5 %. Качественно графики для различных  $\Delta M_{\text{д}}/M_{\text{д}}$  подобны. В области  $R_{\text{wo}}/R_{\text{wr}} = R_{\text{wo}}/\mu R_r > 1$  зависимости  $\Delta R_{\text{wr}}/R_{\text{wr}} = f(\Delta M_{\text{д}}/M_{\text{д}})$  и  $\Delta R_r/R_r = f(\Delta M_{\text{д}}/M_{\text{д}})$  практически можно считать линейными. В области же  $R_{\text{wo}}/R_{\text{wr}} = R_{\text{wo}}/\mu R_r < 1$  эта линейность все в большей мере нарушается.

Таким образом, если известны требуемое  $M_{\text{n}}$  и допустимое  $\Delta M_{\text{n}}/M_{\text{n}}$ , в соответствии с (4) определяется величина каждой составляющей  $(\Delta M_{\text{д}}/M_{\text{д}}, \Delta M_{\text{д}}/M_{\text{д}})$  и по графикам на рис. 2 и 3 устанавливаются допуски на позиционирование транспаранта и точечных источников когерентного света в системах записи и считывания ГЗУ.

Рассмотрим пример достижения заданного значения  $M_{\text{n}} = 10$  при допустимом  $\Delta M_{\text{n}}/M_{\text{n}} = 3 \%$  в ГЗУ с фокусным расстоянием объектива записи  $f = 85$  мм. Оценку допусков линейного позиционирования будем производить для трех возможных схем. В первом случае принимаем  $M_{\text{д}} = M_y = 1$ . Тогда  $M_{\text{n}} = M_{\text{д}}$ , откуда  $n = 0,9$  и  $n = 1,1$ . По графикам на рис. 2 определяем  $\Delta n = 2,94 \cdot 10^{-3}$ , что соответствует величине линейного допуска  $\Delta nf = 0,25$  мм. Во втором случае принимаем  $M_{\text{д}} = M_y = 1$ . Тогда в соответствии с (2) находим  $n = 0$ ,  $M_{\text{n}} = M_{\text{д}}$ ,  $R_{\text{wo}}/R_{\text{wr}} = 1,1$ ,  $R_{\text{wo}} = 85$  мм и  $R_{\text{wr}} = 93,5$  мм. По графикам на рис. 3 определяем  $\Delta R_{\text{wr}}/R_{\text{wr}} = 2,65 \cdot 10^{-3}$  и  $\Delta R_{\text{wr}} = 0,25$  мм. Наконец, в третьем случае рассмотрим комбинированное увеличение  $M_{\text{д}}$  с наличием  $M_{\text{д}}$ . Для простоты будем полагать  $m = \infty$  и  $M_{\text{д}} = M_{\text{д}} = \sqrt{M_{\text{n}}} = 3,32$ . При этом в соответствии с (2) определяем  $n = 0,7$ ,  $R_{\text{wo}}/R_{\text{wr}} = 1,3$ ,  $R_{\text{wo}} = 282$  мм, а  $R_{\text{wr}} = 367$  мм. Поскольку в двух первых вариантах схем допуски линейного позиционирования в объективном и опорном каналах одинаковы для достижения одного и того же  $M_{\text{n}}$ , будем считать  $\Delta M_{\text{д}}/M_{\text{д}} = \Delta M_{\text{д}}/M_{\text{д}} = 1,5 \%$ . При этом принимается во внимание малость третьего слагаемого в выражении (4). Тогда по графикам на рис. 2 и 3 находим  $\Delta n = 4,5 \cdot 10^{-3}$  и  $\Delta R_{\text{wr}}/R_{\text{wr}} = 3,4 \cdot 10^{-3}$ , что соответствует величинам линейного допуска  $\Delta nf = 0,38$  мм и  $\Delta R_{\text{wr}} = 1,25$  мм. Таким образом, для снижения требований к конструкции ГЗУ предпочтительно использование комбинации  $M_{\text{д}}$  и  $M_{\text{д}}$ .

**Оценка по критерию резкости.** При номинальном (расчетном) расположении экрана или анализатора изображения относительно считающей микроголограммы появление погрешности  $\Delta M_{\text{n}}/M_{\text{n}}$  всегда сопровождается нарушением резкости в выходной плоскости. Проведем анализ

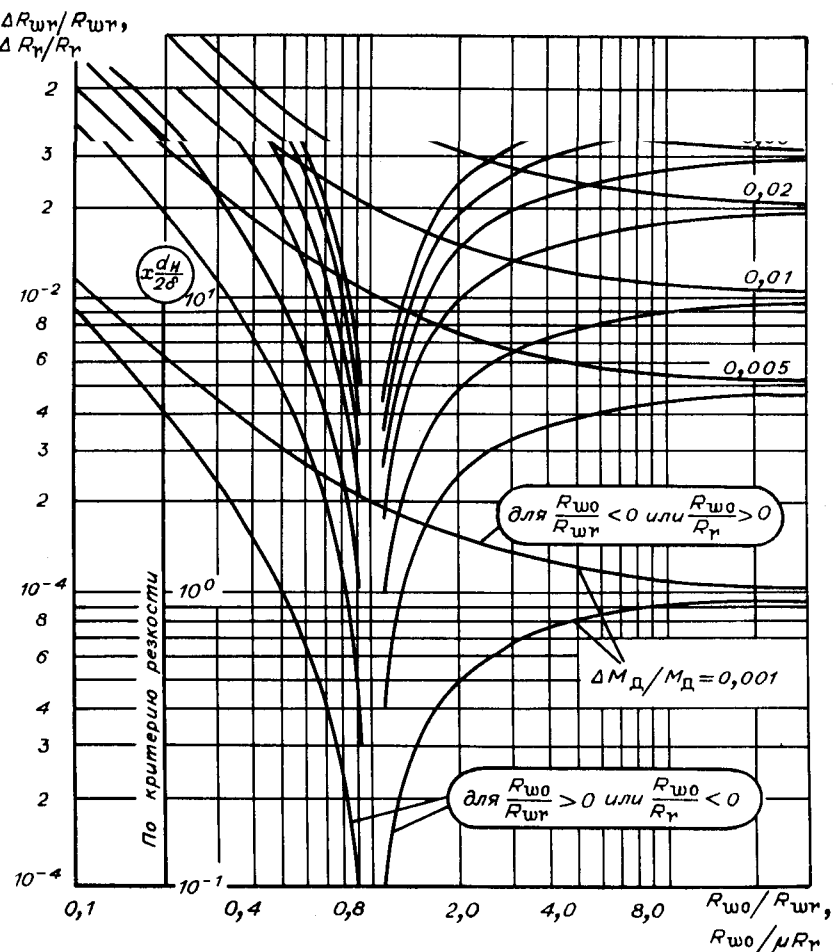


Рис. 3. Семейство графиков допуска линейного позиционирования точечных источников света в опорном канале записи ( $\Delta R_{\text{w}}/R_{\text{wr}}$ ) и считывания ( $\Delta R_{\text{r}}/R_{\text{r}}$ ) ГЗУ по критериям точности  $\Delta M_{\text{d}}/M_{\text{d}}$  воспроизводимого формата и резкости в зависимости от относительных расстояний  $R_{\text{w0}}/R_{\text{wr}} = R_{\text{w0}}/\mu R_{\text{r}}$

тех же допусков линейного позиционирования компонентов ГЗУ по критерию резкости воспроизводимых изображений.

На рис. 4 показан ОЗ, проецирующий плоскость транспаранта ( $T$ ), расположенного на расстоянии  $OA = nf$ , в плоскость экрана ( $\mathcal{E}$ ), удаленную от объектива на расстояние  $OA' = M_nf$ . Транспаранты, расположенные в пространстве между точками  $A_1$  и  $A_2$ , изображаются в плоскости экрана кружками рассеяния диаметром  $\delta$ , воспринимаемыми в виде резких изображений точек. Расстояния  $OA_1$  и  $OA_2$  определяют расстояния от плоскости объектива до возможных крайних положений транспаранта  $T_1$  и  $T_2$ , при которых резкость изображений в плоскости экрана остается хорошей. Из подобия треугольников опирающихся на  $\delta$  и  $d_H$  ( $d_H$  — диаметр микроголограммы), с вершиной в точках  $A'_1$  и  $A'_2$  имеем соответственно:

$$OA'_1 = \frac{d_H z - \delta z_0}{d_H - \delta}, \quad OA'_2 = \frac{d_H z - \delta z_0}{d_H + \delta}.$$

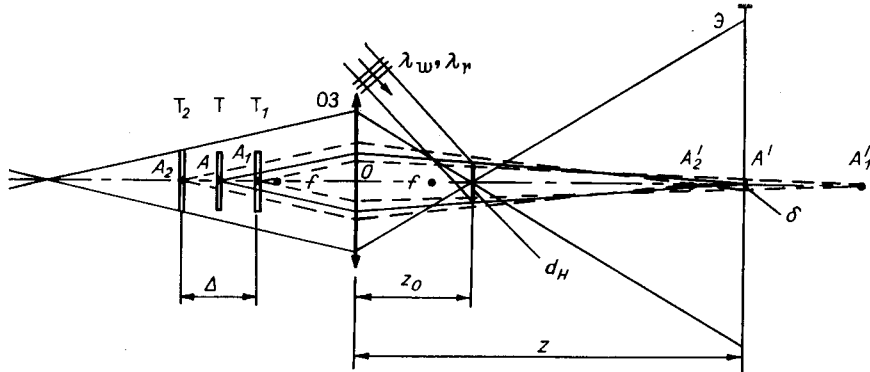


Рис. 4. Иллюстрация влияния погрешности позиционирования транспаранта в объемном канале ГЗУ

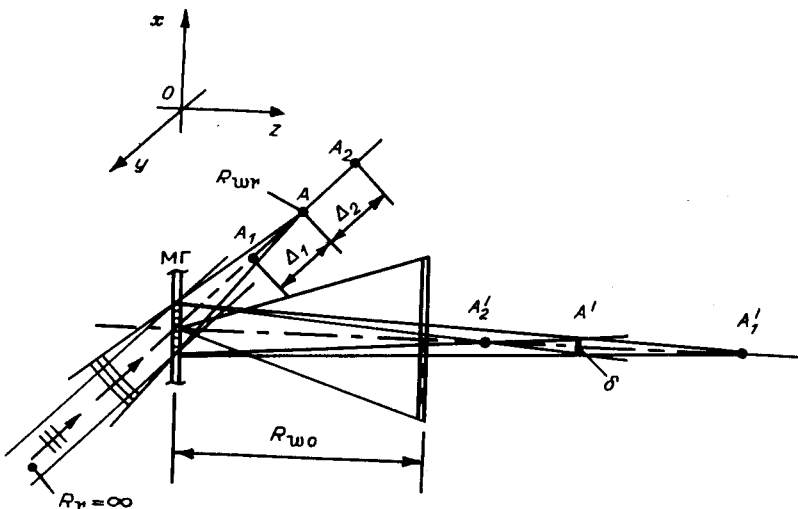


Рис. 5. Иллюстрация влияния погрешности позиционирования точечного источника света в опорном канале ГЗУ

С учетом этих записей и формул отрезков определяем

$$OA_1 = \frac{f(d_H z - \delta z_0)}{d_H(z-f) - \delta(z_0-f)}, \quad OA_2 = \frac{f(d_H z - \delta z_0)}{d_H(z-f) - \delta(z_0+f)}.$$

Мерой допусков позиционирования транспаранта в оптической системе голограммической записи служит величина

$$\Delta = OA_2 - OA_1 = \frac{2f^2\delta(d_H z - \delta z_0)}{[d_H(z-f) - \delta f]^2 + \delta^2(z_0^2 + 2f^2)}$$

или с учетом малости значения  $\delta$

$$\Delta = \frac{2\delta}{d_H} \frac{f^2 z}{(z-f)^2}. \quad (10)$$

Так как  $z = M_n f$ , (10) можно переписать в виде

$$\Delta = \frac{2\delta}{d_H} \frac{n f}{M_n} = \frac{2\delta f}{d_H} \frac{n}{n-1}. \quad (11)$$

Максимальная величина допуска позиционирования  $\Delta = \delta f / 2d_H$  имеет место при  $\Delta' = 2\delta f(2n-1)/d_H = 0$ , т. е. когда  $n = 0,5$ , и соответствует  $M_n = 2$ . График зависимости  $\Delta / \frac{d_H}{2\delta f}$  от параметра  $n$  представлен на рис. 2. При  $n \rightarrow 1,0$   $\Delta \rightarrow 0$ , и с дальнейшим увеличением  $n$  пределы допуска

монотонно расширяются. Видно, что область  $n > 1,0$  предпочтительнее с точки зрения больших значений  $\Delta$ , особенно при уменьшении  $M_d$ . Для приведенного выше первого примера при  $\delta = 0,015$  мм и  $d_H = 2,0$  мм допуски на установку транспаранта составляют  $\Delta = 0,115$  мм и  $\Delta = 0,14$  мм для  $n = 0,9$  и  $n = 1,1$  соответственно.

Рассмотрим случай дифракционного изменения масштаба для схемы на рис. 5, где  $R_{wo} > 0$ ,  $R_{wr} > 0$  и  $R_r = \infty$ . Здесь точки  $A_1$  и  $A_2$  определяют отрезок  $A_1A_2 = \Delta R_{wr}$  допустимого расположения точечного источника опорного пучка света, обеспечивающего при  $R_r = \infty$  формирование резкого изображения в плоскости  $\mathcal{E}$  по критерию диаметра  $\delta$  кружка рассеяния. С учетом того, что  $OA_1 = R_{wr} - \Delta_1$ , а  $OA_2 = R_{wr} + \Delta_2$ , осевые точки  $A$  и  $A'$ ,  $A_1$  и  $A'_1$ ,  $A_2$  и  $A'_2$  сопряжены микроголограммой в соответствии с выражениями

$$\left. \begin{aligned} OA' &= \frac{R_{wo}R_{wr}}{\mu(R_{wr} - R_{wo})}, \\ OA'_1 &= \frac{R_{wo}(R_{wr} - \Delta_1)}{\mu(R_{wr} - \Delta_1 - R_{wo})}, \\ OA'_2 &= \frac{R_{wo}(R_{wr} + \Delta_2)}{\mu(R_{wr} + \Delta_2 - R_{wo})}. \end{aligned} \right\} \quad (12)$$

Из геометрии схемы имеем

$$OA' = OA'_1(1 - \delta/d_H) = OA'_2(1 + \delta/d_H),$$

откуда с помощью системы (12) находим

$$\begin{aligned} \Delta_1 &= \frac{\delta R_{wr}(R_{wr} - R_{wo})}{d_H R_{wo} + \delta(R_{wr} - R_{wo})}, \\ \Delta_2 &= \frac{\delta R_{wr}(R_{wr} - R_{wo})}{d_H R_{wo} - \delta(R_{wr} - R_{wo})}, \\ \Delta R_{wr} &= \Delta_1 + \Delta_2 = \frac{2\delta d_H R_{wo} R_{wr} (R_{wr} - R_{wo})}{d_H^2 R_{wo}^2 - \delta^2 (R_{wr} - R_{wo})^2}. \end{aligned}$$

С учетом малости значения  $\delta$  относительный допуск на установку опорного точечного источника света определяется как

$$\frac{\Delta R_{wr}}{R_{wr}} = \frac{2\delta}{d_H} \left| \left( \frac{R_{wr}}{R_{wo}} - 1 \right) \right|.$$

Для приведенного выше второго примера при  $\delta = 0,015$  мм и  $d_H = 2,0$  мм допуск на установку точечного источника опорного пучка в схеме записи составляет  $\Delta R_{wr} = 0,125$  мм.

Аналогично при  $R_{wr} = \infty$  имеем следующую запись:

$$\frac{\Delta R_r}{R_r} = \frac{2\delta}{d_H} \left| \left( \frac{\mu R_r}{R_{wo}} + 1 \right) \right|.$$

Графики для оценки  $\Delta R_{wo}$  и  $\Delta R_r$  по критерию резкости при известных  $R_{wr}$ ,  $R_r$ ,  $\delta$  и  $d_H$  представлены на рис. 3. По аналогии с предыдущим случаем для достижения больших значений  $\Delta R_{wr}$  или  $\Delta R_r$  здесь предпочтительнее область  $R_{wo}/R_{wr} = R_{wo}/\mu R_r < 1,0$ .

## ЛИТЕРАТУРА

1. Антипин М. В. Интегральная оценка качества телевизионного изображения.—Л.: Наука, 1970.
2. Ярмош Н. А., Ероховец В. К. Влияние линейных перекрестных помех на геометрическую структуру накопителя голограммической памяти // Изв. АН БССР. Сер. физ.-техн. наук.—1977.—№ 1.
3. Ероховец В. К. Анализ информационных характеристик голограммической документальной памяти типа 2Д // Там же.—1985.—№ 1.

4. Ероховец В. К. Анализ и расчет энергетических характеристик голограммической документальной памяти // Фундаментальные основы оптической памяти и среды.—Киев: Вища шк., 1986.—Вып. 17.
5. Ероховец В. К. Увеличение при восстановлении двумерных страниц информации с микроголограмм // Изв. АН БССР. Сер. физ.-техн. наук.—1978.—№ 1.
6. Ярмош И. А., Ероховец В. К., Борисевич А. А. Резкость изображений при записи и восстановлении фурье-микроголограмм // Там же.—№ 2.
7. Ярмош И. А., Ероховец В. К. Геометрические аспекты проектирования документальной голограммической памяти // Сб. тр. IV Всесоюз. конф. по голограммам.—Ереван: ВИИРИЙ, 1982.
8. Гибин И. С., Пен Е. Ф., Твердохлеб П. Е. Устройство для записи матриц голограмм // Автометрия.—1973.—№ 5.
9. Scomori R. Alignment and design conditional for optical memory systems using Fourier holograms // Opt. Acta.—1978.—V. 25, N 2.—P. 107.
10. Домбровский В. А., Домбровский С. А., Пен Е. Ф. Влияние параметров гауссово опорного пучка на искажение восстановленного из голограммы изображения // Оптика и спектроскопия.—1978.—Т. 48, № 5.
11. Домбровский В. А., Домбровский С. А. Требования к aberrациям оптических элементов и точности их установки в голограммных ЗУ // Автометрия.—1982.—№ 6.
12. Когельник Г., Ли Т. Резонаторы и световые пучки лазеров // ТИИЭР.—1966.—Т. 54, № 10.

*Поступила в редакцию 19 августа 1986 г.*

---

УДК 621.396 : 535.8

С. Ю. БОНДАРЦЕВ, Н. А. ЕСЕПКИНА, А. П. ЛАВРОВ  
(Ленинград)

## ОПТИЧЕСКИЕ ПРОЦЕССОРЫ С ИСПОЛЬЗОВАНИЕМ СКАНИРУЮЩИХ ПЗС-ФОТОПРИЕМНИКОВ

**Введение.** В последнее время в связи с разработкой и совершенствованием новой элементной базы: широкополосных акустооптических модуляторов с полосами в сотни мегагерц, приборов с зарядовой связью (ПЗС), полупроводниковых лазеров и светоизлучающих диодов — появилась возможность разработки компактных оптических процессоров на объемных и интегральных элементах и создания на их основе гибридных систем обработки радиосигналов различного назначения с использованием ПЗС и микроЭВМ. Такие системы обработки позволяют реализовать чрезвычайно широкие полосы анализа при большой длительности сигналов, т. е. обрабатывать сигналы с большой базой. Они имеют небольшой вес, малое энергопотребление и достаточно простые оптические схемы.

Применение многоэлементных фотоприемников на основе ПЗС (ПЗСФП) в составе гибридных систем в качестве узла вывода информации из оптического процессора сделало реальным создание и внедрение различных устройств обработки радиосигналов, например акустооптических анализаторов спектра [1—3]. ПЗС являются многофункциональными приборами, поэтому их применение обеспечило не только стыковку оптических и цифровых процессоров, но и появление новых принципов в архитектуре оптических систем обработки информации [4—9]. Дополнительная аналоговая обработка сигналов в ПЗС перед их вводом в ЭВМ существенно расширяет возможности оптических процессоров.

В настоящей работе рассмотрены некоторые схемы оптических процессоров с использованием сканирующих ПЗС-фотоприемников, в частности коррелятор с опорной маской, который служит примером оптического вектор-матричного перемножителя [7, 8], а также акустооптическое устройство для обработки сигналов пульсаров — так называемый акустооптический компенсатор дисперсии.